

# Flow With Constant Specific Head In Retangular and Trapezoidal Channels

# Escoamento com Carga Específica Constante nos Canais Retangulares e Trapezoidais

ALFREDO BANDINI

Professor Catedrático da Escola de Engenharia de São Carlos da Universidade de São Paulo. Professor da Faculdade de Engenharia Industrial da Pontifícia Universidade Católica de São Paulo. Consultor Técnico do Departamento de Aguas e Energia Elétrica da Secretaria de Viação e Obras Públicas de S. Paulo.

SWAMI MARCONDES VILLELA

Assistente da Escola de Engenharia de São Carlos da Universidade de São Paulo.

## S U M M A R Y

The study of flow conditions in channels, in relation to specific head, requires the elaboration of complicated calculations.

In this memory, we have transformed the usual formulae into adimensional functions and organized tables, which allow rapid calculations without lessening the precision of the results.

1 — Let us consider a trapezoidal channel (FIG. 1) with a floor slope  $i$  in which we have a uniform turbulent flow with a discharge  $Q$ . We denote respectively as  $x$  and  $\omega(x)$  water depth and cross section and

## R E S U M O

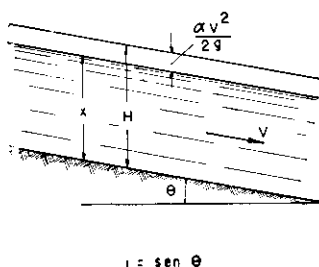
O estudo das condições de escoamento em canais, em relação à carga específica, exige a elaboração de cálculos bastante laboriosos. Na presente memória, transformamos as fórmulas usuais em funções adimensionais e organizamos Tabelas e Gráficos, que permitem a execução de cálculos rápidos, sem afetar a exatidão dos resultados.

Consideremos (FIG. 1) um canal trapezoidal, de declividade longitudinal  $i$ , onde se escoa uma vazão  $Q$  com regime turbulento uniforme. Indiquemos, respectivamente, por  $x$  e  $\omega(x)$  a altura d'água e a secção molhada e por:

$$V = \frac{Q}{\omega}$$

as the average speed in  $\omega$ .

a velocidade média em  $\omega$ .



$$l = \tan \theta$$

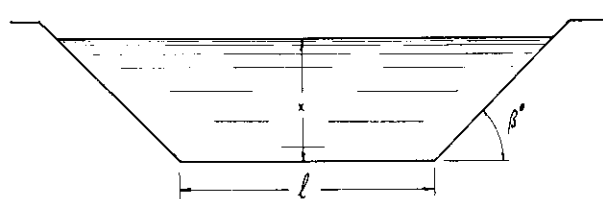


FIG. 1

Being  $\alpha$  CORIOLIS' coefficient, the specific head of the flow  $H$ , in relation to the floor, is:

Sendo  $\alpha$  o coeficiente de CORIOLIS, a carga específica  $H$  da corrente, em relação ao plano de fundo, resulta igual a:

$$H = x + \frac{\alpha Q^2}{2g \omega^2} \quad (1)$$

If we fix  $H = H_0$  and call

Supondo-se fixar  $H = H_0$ , e posto:

$$K = \sqrt{\frac{2g}{\alpha}}$$

it follows that:

$$Q = K(H_0 - x)^{1/2} \cdot \omega = Q[x; \omega(x)] \quad (2)$$

function exclusively of  $x$ . As we know, equation (2) is represented by a curve whose form is shown in FIG. 2, having a maximum  $Q_M$  for the critical height  $x_c$ . Except this case, for any value:

$$0 \leq Q \leq Q_M$$

there are two heights at which the flow may take place, i.e.,  $x_1 < x_c$  and  $x_2 > x_c$ , corresponding to the conditions of *rapid* and *tranquil* flow.

To determine  $x(Q)$ , we have to draw the curve of FIG. 2 by points. This process will give rise to complicated calculations, if we wish to proceed rigorously and, much more, when the calculations have to be repeated for channels of different sizes.

função exclusivamente de  $x$ . Como se sabe, a (2) é representada por uma curva da forma indicada na FIG. 2, tendo um máximo  $Q_M$  para a altura crítica  $x_c$ . Com exceção deste caso, para cada valor:

a (2) é satisfeita por duas alturas, isto é,  $x_1 < x_c$  e  $x_2 > x_c$ , correspondentes às condições de corrente: *veloz* e *lenta*.

Para determinar os valores  $x(Q)$ , é preciso traçar por pontos a curva da FIG. 2. Esse processo torna-se bastante laborioso, se se quiser proceder com um certo rigor e, muito mais, quando se deva repetir os cálculos para canais de dimensões diferentes.

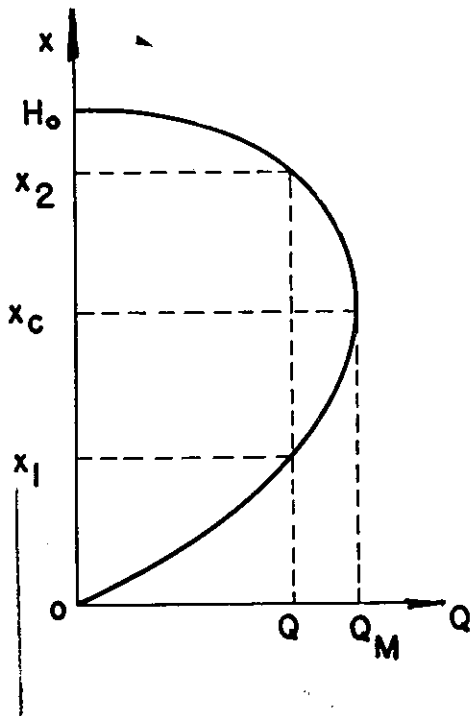


FIG. 2

However with the present study, we will modify the classical formulae, introducing adimensional elements "parameters of form", which allows to extend, to the cases in consideration, the methods proposed by BANDINI, to transform substantially CHEZY's formula and others of the critical state flow [I] [II] [III].

2 — Trapezoidal cross section is defined by two adimensional parameters, i.e., (FIG. 1):

Com o presente estudo, entretanto, vamos modificar as fórmulas clássicas, introduzindo elementos adimensionais, "parâmetros de forma", que permitem extender, ao caso em apreço, os métodos idealizados por BANDINI, para a transformação substancial da fórmula de CHEZY e daquelas relativas ao escoamento com regime crítico [I] [II] [III].

2 — A forma da secção trapezoidal é definida por dois parâmetros adimensionais, a saber (FIG. 1):

$$z = \frac{l}{x} \quad (3)$$

$$q_o = \cotg \beta \quad (4)$$

But

Por outra parte:

$$\omega = l \cdot x + q_o x^2$$

Hence, on replacing the expression (3) of  $x$ :

Logo, substituindo-se a expressão de  $x$  dada pela (3):

$$\omega = \frac{l^2}{z^2} (z + q_o) \quad (5)$$

Let us consider now the equation

Consideremos agora a relação:

$$\eta = \frac{l}{H_o} \quad (6)$$

Taking in account (5) and (6), the equation (2) will become:

Levando em conta as (5) e (6), a equação (2) tornar-se-á:

$$\frac{Q}{k \cdot l^{2,5}} = \left( -\frac{z + q}{z^2} \right) \left( \frac{l}{\eta} - \frac{l}{2} \right)^{1/2} = f(z, , q_o) \quad (7)$$

The second member of (7) depends only on adimensional parameters, i.e., since we fix  $q_o$ , on  $z$  and  $\eta$ .

O segundo membro da (7) depende apenas de parâmetros adimensionais, isto é, uma vez fixado  $q_o$ , de  $z$  e  $\eta$ .

We remember that  $x$  varies between the limits:

Recordamos que a  $x$  varia dentro dos limites:

$$0 \leq x \leq H_o \quad (8)$$

the uppermost limit corresponding to the condition of liquid at rest. Hence, we have (3) and (6):

sendo que o limite superior corresponde à condição de líquido em repouso. Consequentemente, ter-se-á (3) e (6):

$$\infty \geq z \geq \eta \quad (9)$$

When  $\eta = \eta_o$  is fixed, equation (7) has its maximum for:

Uma vez fixado  $\eta = \eta_o$ , a (7) tem o máximo, para:

$$z_c = \frac{l}{x_c}$$

i. é, for the value of  $z$  corresponding to critical depth  $x_c$ .

If we write for greater convenience of calculation

isto é, para o valor de  $z$  que corresponde à altura crítica  $x_c$ .

Posto, para maior comodidade de cálculo:

$$y = \frac{l}{z} = \frac{x}{l_0} \quad (11)$$

equation (7) takes the equivalent form

a (7) poderá ser escrita na forma equivalente:

$$(y + q_0 y^2) \left( \frac{l}{\eta_0} - y \right)^{1/2} = f(y) \quad (7')$$

Thus we have

Logo, teremos:

$$\frac{df}{dy} = \left( \frac{l}{\eta_0} - y \right)^{1/2} (1 + 2q_0 y) - \frac{1}{2} (y + q_0 y^2) \left( \frac{l}{\eta_0} - y \right)^{-1/2} = 0 \quad (12)$$

Hence

Dai:

$$\frac{1}{\eta_0} = \frac{H_0}{l} = y + \frac{1}{2} \frac{y + q_0 y^2}{1 + 2q_0 y} = F(y) \quad (12')$$

The value

O valor:

$$y = y_c = \frac{1}{z_c} = \frac{x_c}{l} \quad (13)$$

is that which identifies the function  $F(y)$  with the rate  $(H_0 : l)$ .

é, por sinal, aquele que identifica a função  $F(y)$  com a relação  $(H_0 : l)$ .

To formula (12'), BANDINI had already arrived, treating critical state flow problem [II] [III]. The same Author organized a Table which supplies directly the values of the function, for opportunely chosen series of values  $q_0$  and  $y$ .

A expressão (12'), BANDINI já tinha chegado, tratando o problema do escoamento com regime crítico [II] [III]. O mesmo Autor organizou uma Tabela que fornece diretamente os valores da função, para séries de valores  $q_0$  e  $y$  oportunamente escolhidos.

3 — Equation (7) on taking in account borderline conditions (8) and (9) allowed to organize systematic calculations whose results, collected in Tables and Diagrams, make possible the performance of rapid calculations, attaining the degree of approximation required for the solution of technical problems.

3 — A equação (7), levando em conta as condições limites (8) e (9), permitiu organizar determinações sistemáticas, cujos resultados, reunidos em Tabelas e Diagramas, tornam possível a execução de cálculos rápidos, atingindo o grau de aproximação exigida para a solução dos problemas técnicos.

Based on practical considerations, we have fixed for  $q_0$ ,  $z$ ,  $\eta$ , the variation's intervals, which in PROSPECT N.<sup>o</sup> 1 are indicated.

Baseando em considerações de ordem prática, fixamos, para  $q_0$ ,  $z$ ,  $\eta$ , os campos de variação indicados no QUADRO N.<sup>o</sup> 1.

QUADRO N.<sup>o</sup> 1 (PROSPECT N.<sup>o</sup> 1)

Elementos Elements)	Campo de variação (range)		
	de (from)	a (to)	cada (each)
$q_0$	0	2	0,5
$z$	0,4	10	—
$\eta$	0,4	5	0,1

As for  $z$ , ist ranges of variation are:

$$0,1 \text{ para (for)} \quad 0,4 \leq z \leq 2$$

$$0,2 \text{ para (for)} \quad 2,0 < z \leq 5$$

$$0,5 \text{ para (for)} \quad 5,0 < z \leq 10$$

We have enclosed the values  $z_c$  too, drawn from the TABLES of [II] and [III] and which correspond to the critical heights, for successive values of  $\eta$ .

The results were collected in the TABLES and GRAPHS reported in PROSPECT N.º 2.

Quanto a  $z$ , os intervalos de variação são de:

$$0,1 \text{ para (for)} \quad 0,4 \leq z \leq 2$$

$$0,2 \text{ para (for)} \quad 2,0 < z \leq 5$$

$$0,5 \text{ para (for)} \quad 5,0 < z \leq 10$$

sendo que foram incluídos também os valores  $z_c$ , tirados das TABELAS de [II] e [III], correspondentes às alturas críticas, para os sucessivos valores de  $\eta$ .

Os resultados estão consubstanciados nas TABELAS e GRÁFICOS, referidos no QUADRO N.º 2.

QUADRO N.º 2  
Prospect n. 2

$q_o$	TABELAS Tables	GRAFICOS Graphs
0,0	1	1
0,5	2	2
1,0	3	3
1,5	4	4
2,0	5	5

Condition  $q_o = 0$  corresponds to rectangular cross sections.

We have to observe that, because of typesetting, original GRAPHS suffered great photographic reduction; thus, we have some zones, in which the reading is difficult. In this circumstances, we suggest to use exclusively the TABLES, when the value  $\eta$  falls upon one of those fixed. Meanwhile, when necessary to interpolate between two contiguous curves, it shall be convenient to draw them in adequate scale, limited between two values of  $z$  which contain that calculated approximately with the diagrams.

4 — The problems that refer to the present argument depend upon four variables  $Q$ ,  $l$ ,  $z$ ,  $\eta$ .

The possible hydraulically determined problems are only four, since three elements, which we will indicate by the indice  $O$ , have to be known to obtain the fourth univocally.

So, we will have the following combinations:

- a) —  $Q$      $l_o$      $z_o$      $\eta_{lo}$
- b) —  $Q_o$      $l$      $z_o$      $\eta_{lo}$
- c) —  $Q_o$      $l_o$      $z$      $\eta_{lo}$
- d) —  $Q_o$      $l_o$      $z_o$      $\eta$

A condição  $q_o = 0$  corresponde às secções retangulares.

Observamos que, por motivos de ordem tipográfica, os Gráficos originais sofreram uma sensível redução na fotografia, tendo-se algumas zonas em que as leituras tornam-se incertas. Nestas circunstâncias, sugere-se o uso exclusivo das TABELAS, quando o valor de  $\eta$  coincide com um dos fixados. Se, entretanto, for necessário interpolar entre duas curvas contíguas, será conveniente desenhar, em escala adequada, as mesmas, limitadas entre dois valores de  $z$  que compreendem aquêle determinado, em primeira aproximação pelo GRÁFICO.

4 — Os casos referentes ao argumento em tela, dependem, pois, das quatro variáveis  $Q$ ,  $l$ ,  $z$ ,  $\eta$ .

Os problemas hidráulicamente determinados possíveis, são apenas quatro, sendo que devem ser conhecidos três elementos, que distinguiremos pelo índice  $O$ , para que o quarto resulte de maneira unívoca.

Ter-se-ão, pois, as combinações seguintes:

and the solutions below indicated.

$$\text{Case a)} \quad Q = k l_o^{2,5} f(z_o, \eta_o). \quad (14)$$

We determine  $f(z_o, \eta_o)$  both using the Tables or the Graphs.

$$\text{Case b)} \quad l = \left[ \frac{Q_o}{k f(z_o, \eta_o)} \right]^{0,4} \quad (15)$$

For the function, the considerations about the case a) are valid.

**Case c)** — Let us calculate

$$f(z, \eta_o) = \frac{Q_o}{k l_o^{2,5}} \quad (14')$$

Afterwards we determine  $z$  from the Tables or Graphs.

**Case d)** — Let us calculate

$$f(z, \eta_o) = \frac{Q_o}{k l_o^{2,5}} \quad (15')$$

we find  $\eta$  in the Tables or Graphs.

We have to add, now, that the mutual relation among  $Q$ , cross section geometrical elements, longitudinal floor slope  $i$ , under conditions of uniform flow, is fixed by BANDINI's formula [III], from where we obtain  $i$ :

$$i = \left( \frac{n Q}{R x^{8/3}} \right)^2 \quad (16)$$

where, as we know,  $n$  is GANGUILLET-KUTTER coefficient and  $R = f(z_o; q_o)$  the coefficient of form whose values were previously collected in Table [III].

5 — The problem is *hydraulically indetermined* when only two elements are given, and we may choose, for the others two, different values in function of the particular conditions of each case

The use of the Graphs and the help of the Tables, however, contribute to orientate the solution, reducing the indetermination field. Now, let us examine the possible occurrences:

a) — We have  $Q_o$  and  $l_o$ .

We calculate by (14):

e as correspondentes soluções indicadas a seguir.

$$\text{Caso a)} \quad Q = k l_o^{2,5} f(z_o, \eta_o). \quad (14)$$

A determinação de  $f(z_o, \eta_o)$  será feita, indiferentemente, pelas Tabelas e pelos Gráficos.

$$\text{Caso b)} \quad l = \left[ \frac{Q_o}{k f(z_o, \eta_o)} \right]^{0,4} \quad (15)$$

Valem, para a função, as considerações do caso a).

**Caso c)** — Calcula-se:

$$f(z, \eta_o) = \frac{Q_o}{k l_o^{2,5}} \quad (14')$$

Em seguida, entrando nas Tabelas ou Gráficos, determina-se  $z$ .

**Caso d)** — Calcula-se:

$$f(z, \eta_o) = \frac{Q_o}{k l_o^{2,5}} \quad (15')$$

e, entrando nas Tabelas ou Gráficos, objetiva-se  $\eta$ .

Cabe-nos acrescentar, agora, que para estabelecer a correlação entre  $Q$ , os elementos geométricos da secção transversal e a declividade longitudinal  $i$ , na condição de "regime uniforme", dispomos da fórmula de BANDINI [III], isto é, evidenciando  $i$ :

onde, como se sabe,  $n$  é o coeficiente de GANGUILLET-KUTTER e .....  $R = f(z_o; q_o)$  o "coeficiente de forma", cujos valores estão já tabelados [III].

5 — O problema apresenta-se *hidráulicamente indeterminado*, quando são dados apenas dois elementos, tendo-se a possibilidade de tomar para os outros dois, valores diversos e escolher, em seguida, conforme as condições particulares de cada caso.

O uso dos Gráficos e o auxílio das Tabelas, entretanto, contribuem para orientar a solução, limitando sensivelmente o campo da indeterminação. Examinemos, a seguir, as ocorrências possíveis:

a) — São dados:  $Q_o$  e  $l_o$ .

Calcula-se pela (14):

$$\frac{Q_o}{k l_o^{2,5}} = A_o = f(z, \eta) \quad (17)$$

The vertical straight line of the equation  $A_o = \text{const.}$  objectifies the conjugated pairs of values  $z_{r_i}$  (rapid flow),  $z_{s_i}$  (tranquil flow) corresponding to each  $\eta_i$  which satisfies the eq. (16).

b) — We have  $Q_o$  and  $z_o$ .

The straight line  $z_o = \text{const.}$  will cut the curves  $\eta_i = \text{const.}$  at the points of abscissa  $f(z_o, \eta_i)$ ; since:

$$l_i = \left[ \frac{Q_o}{k f(z_o, \eta_i)} \right]^{0,4} \quad (18)$$

c) — We have  $Q_o$  and  $\eta_o$ .

Having as equation  $f$  the vertical lines, cut the curve of given  $\eta_o$ , in pairs of conjugated points  $z_{r_i}$  and  $z_{s_i}$ ; to each pair corresponds a channel width:

$$l_i = \left[ \frac{Q_o}{k f(z_o, \eta_o)} \right]^{0,4} \quad (19)$$

where the indice  $i$  indicates the  $i^{\text{th}}$  vertical.

d) — Given  $l_o$  and  $z_o$ .

By the same way as in case b), we obtain:

$$Q_i = k l_o^{2,5} f(z_o, \eta_i) \quad (20)$$

e) — We have  $l_o$  and  $\eta_o$ .

By the same way as in case c), we obtain:

$$Q_i = k l_o^{2,5} f(z_o, \eta_o) \quad (21)$$

f) — We have  $z_o$  and  $\eta_o$ .

Using the equation (7) we can obtain different solutions by fixing values for  $l_i$  or  $Q_i$ .

5 — Numerical examples given below will indicate the procedure for the application of the indicated process.

**Example one:** (See FIG. n° 3)

Given :

$$Q_o = 36,9 \text{ m}^3/\text{seg} (\text{m}^3 \text{ per sec.})$$

$$l_o = 4,00 \text{ m}$$

$$l'_o = 4,80 \text{ m}$$

$$x_o = 3,20 \text{ m}$$

$$q_o = \cotg 45^\circ = 1$$

$$\alpha = 1 \text{ (coef. de CORIOLIS) (CORIOLIS' coefficient)}$$

$$p_o = 0,40 \text{ m}$$

A reta vertical de equação  $A_o = \text{const.}$  objetiva os pares de valores conjugados  $z_{r_i}$  (corrente veloz),  $z_{s_i}$  (corrente lenta), correspondentes a cada  $\eta_i$ , que satisfaz a (16).

b) — São dados  $Q_o$  e  $z_o$ .

A reta  $z_o = \text{const.}$  encontrará as curvas  $\eta_i = \text{const.}$  nos pontos de abscissa  $f(z_o, \eta_i)$ , tendo-se, pois:

c) — São dados  $Q_o$  e  $\eta_o$ .

As semi-retas verticais, tendo por equação  $f$ , encontram a curva de  $\eta_o$  dado, em pares de pontos conjugados  $z_{r_i}$  e  $z_{s_i}$ ; a cada par corresponde uma largura de canal:

entendendo-se pelo índice  $i$  a vertical  $i$ -esima.

d) — São dados  $l_o$  e  $z_o$ .

Operando como foi feito para o caso b), tira-se:

e) — São dados:  $l_o$  e  $\eta_o$ .

Operando como no caso c), tira-se:

f) — São dados:  $z_o$  e  $\eta_o$ .

Teremos diferentes soluções fixando  $l_i$  ou  $Q_i$  e aplicando a (7).

5 — Alguns exemplos numéricos, desenvolvidos a seguir, indicarão dos processos propostos.

**Exemplo n.º 1:** (vide FIG. n° 3).

São dados:

$$z_o = \frac{l_o}{x_o} = \frac{4}{3,2} = 1,25$$

$$\omega_o = (q_o + z_o)z = 2,25 \times 3,22 = 23,04 \text{ m}^2 \text{ (secção molhada) (wet section)}$$

$$H_o = x + \frac{Q^2}{2g\omega_o^2} = 3,2 + \frac{1}{19,62} \left[ \frac{36,9}{23,04} \right]^2 = 3,33 \text{ m}$$

$$H'_o = H_o - p_o = 2,93 \text{ m}$$

$$\eta_{lo} = \frac{l_o}{H_o} = \frac{4}{3,33} = 1,2$$

$$\eta'_o = \frac{l'_o}{H'_o} = \frac{4,8}{2,93} = 1,638$$

$$k = \sqrt{2g} = 4,43$$

We want to determine the height  $x'$  over the bottom jamb.

Queremos determinar a altura  $x'$  acima do umbral.

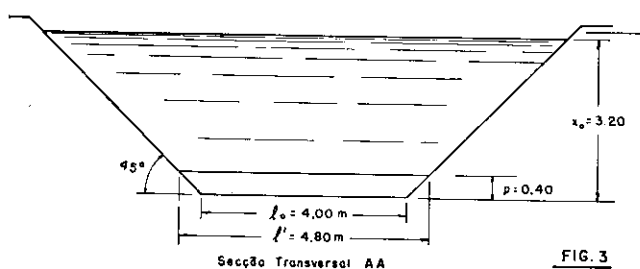
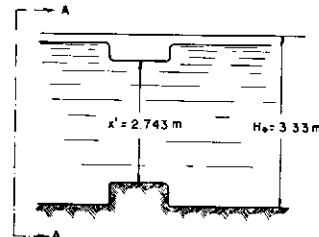


FIG. 3



a) — From GRAPH n. 3 ( $q_o = 1$ ) we deduce that for:

$$\eta_{lo} = 1,20$$

$$z_o = 1,25$$

we have a *tranquil flow*.

a) — Do GRÁFICO n.º 3 ( $q_o = 1$ ) depreende-se que para:

b) — Pela fórmula (7):

$$f(z'; \eta'_o) = f(z'; 1,638) = \frac{Q}{k(\nu)^{2,5}} = \frac{36,9}{4,43 \times 4,8^{2,5}} = 0,165$$

By interpolating (see GRAPH n. 3 and TABLE n. 3) between the curves:

Interpolando (GRAFICO n.º 3 e TABELA n.º 3) entre as curvas:

$$f(z'; 1,60)$$

$$f(z'; 1,70)$$

we draw:  $z' = 1,75$ ; thus

tira-se:  $z' = 1,75$ ; logo;

$$x' = \frac{\nu}{z'} = \frac{4,8}{1,75} = 2,743 \text{ m}$$

Over the bottom jamb we have a water surface depression:

$$3,20 - (2,743 + 0,4) = 0,057 \text{ m}$$

c) — To check the degree of approximation of the calculation process, we will confront the value  $H'_*$  of the specific head in relation to the surface of the bottom jamb with the value:

$$H'_* = (H_o - p_o) = 2,93 \text{ m.}$$

We will have:

Ter-se-á;

$$\omega' = (z' + q_o)^2 = 2,75 \times 2,743^2 = 20,69 \text{ m}^2$$

$$H'_* = 2,743 + \frac{1}{19,61} \left[ \frac{36,9}{20,69} \right]^2 = 2,905 \text{ m}$$

$$\frac{H'_* - H'_*}{H'_*} = \frac{2,93 - 2,905}{2,93} = \frac{0,025}{2,93} = 0,0085$$

The approximation degree is satisfactory.

#### EXAMPLE N.º 2 (See FIG. 4)

Calculate the height  $x_v$  of the rapid flow corresponding to the tranquil flow considered in EXAMPLE 1.

a) — We can write:

$$f(z_o, \eta_o) = f(1,25 ; 1,2) = \frac{Q_o}{k l_o^{2,5}} = \frac{36,9}{4,43 \times 4^{2,5}} = 0,2603$$

The vertical line which starts from the abscissa 0,2603 cuts (See GRAPH n.º 3) the curve  $f(z_v; 1,2)$  in a point of a ordinate:

$$3,6 < z_v < 3,8$$

From the TABLE 3 we draw:

O gráu de aproximação é satisfatório.

#### EXEMPLO N.º 2 (Vide FIG. 4)

Calcular a altura  $x_v$  da corrente veloz correspondente à corrente lenta considerada no EXEMPLO N.º 1.

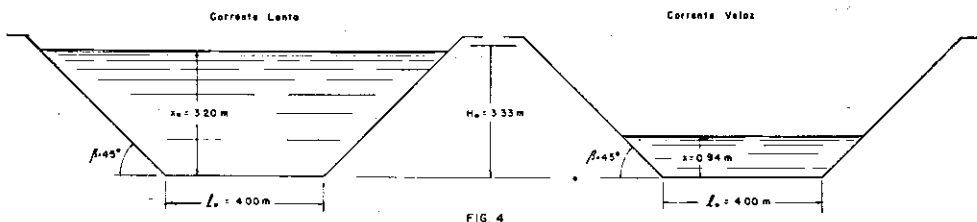
a) — Resulta:

A vertical que passa pela abscissa 0,2603 corta (GRAF. N.º 3) a curva  $f(z_v; 1,2)$  em um ponto de ordenada:

$$f(3,6 ; 1,2) = 0,264$$

$$f(3,8 ; 1,2) = 0,251$$

Da TABELA N.º 3, depreende-se:



And, by linear interpolation:

E, pela interpolação linear:

$$\frac{3,6 - z_v}{3,8 - 3,6} = \frac{0,264 - 0,2603}{0,264 - 0,251}$$

Therefore

Dai:

$$z_v = 3,6565 \quad x_v = \frac{l_o}{z_v} = \frac{4}{3,6565} = 1,094 \text{ m}$$

b) — Confrontation between the specific head  $H_*$  of the calculated rapid flow and  $H_o = 3,33 \text{ m}$ .

b) — Comparação da carga específica  $H_*$ , da corrente veloz calculada, com  $H_o = 3,33 \text{ m}$ .

$$\omega_v = (z_v + q_o)x_v^2 = (3,6565 + 1) \cdot 1,094^2 = 5,5722 \text{ m}^2$$

$$H_* = 1,094 + \frac{1}{19,62} \left( \frac{36,9}{5,5722} \right)^2 = 3,329 \text{ m}$$

$$\frac{H_o - H_*}{H_o} = \frac{3,33 - 3,329}{3,33} = \frac{0,001}{3,33} = 0,003$$

### EXAMPLE N. 3 (See FIG. N. 5)

Calculate the rapid flow height  $x_v$  corresponding to a tranquil flow for which we have:

### EXEMPLO N.º 3 (Vide FIG. N.º 5)

Calcular a altura  $x_v$  de corrente veloz, correspondente a uma corrente lenta, para a qual temos os dados seguintes:

$$Q_o = 12,0 \text{ m}^3/\text{seg} \quad (\text{m}^3 \text{ per sec.})$$

$$l_o = 2,0 \text{ m}$$

$$x_o = 2,0 \text{ m}$$

$$q_o = 2,$$

$$\alpha = 1 \text{ (CORIOLIS)}$$

$$z_o = \frac{l_o}{x_o} = 1$$

$$\omega_o = (q_o + z_o)x_o^2 = (2 + 1) \cdot 4 = 12 \text{ m}^2$$

$$H_o = x_o + \frac{Q_o^2}{2g \omega_o^2} = 2 + \frac{1}{19,62} \left( \frac{12}{12} \right)^2 = 2,051 \text{ m}$$

$$k = \sqrt{2g} = 4,43$$

$$r_o = \frac{l_o}{H_o} = \frac{2}{2,051} = 0,975$$

a) — From equation (7') it follows that:

a) — Pela equação (7'), temos:

$$f(z_o, r_o) = f(1,0 ; 0,975) = \frac{Q_o}{k_o l^{2,5}} = \frac{12}{4,43 \times 2^{2,5}} = 0,479$$

b) — From the GRAPH N. 5 we draw that the vertical straight line  $f_o = 0,479$  cuts the curve:

$$f(z ; 0,975)$$

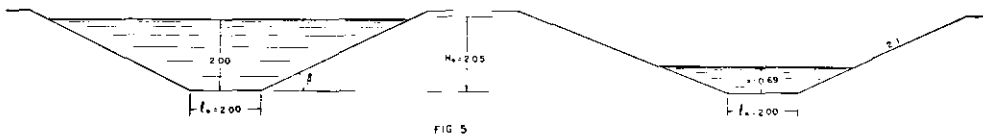


FIG 5

in rapid flow zone, for:

na zona das correntes rápidas, para:

$$z_v = 2,9$$

Hence:

Logo:

$$x_v = \frac{l_o}{z_v} = \frac{2}{2,9} = 0,69 \text{ m}$$

c) — To check, let us confront the rapid flow specific head  $H_v$ , with  $H_o = 2,051 \text{ m}$ .

c) — Camparemos, para verificação, a carga específica  $H_v$ , da corrente rápida com  $H_o = 2,051 \text{ m}$ .

$$\omega_v = (z_v + q_o)x_v^2 = (2,9 + 2) 0,69^2 = 2,33 \text{ m}^2$$

$$H_v = 0,69 + \frac{1}{19,61} \left( \frac{12}{2,33} \right)^2 = 2,04 \text{ m}$$

$$\frac{H_o - H_*}{H_o} = \frac{2,051 - 2,04}{2,051} = \frac{0,011}{2,051} = 0,0054$$



#### Bibliografia mencionada na presente Memoria (References)

- [I] — A. BANDINI — Coeficientes dinâmicos e de forma para o cálculo de secções trapezoidais e retangulares — Engenharia — São Paulo — 1952.
- [II] — A. BANDINI — O escoamento nos canais com regime turbulento uniforme, em relação às condições críticas. Engenharia. São Paulo. 1953.
- [III] — A. BANDINI — Hidráulica. Volume I. Escola de Engenharia de São Carlos. São Carlos. 1957.

TABELA N° 1 (q<sub>0</sub> = 0,0)

TABELA N° 1 ( $q_0 = 0,0$ )

continuação

$\gamma$	Valores de $f(z, \gamma)$ para os seguintes valores de $(z)$																											
	2,0	2,1	2,104	2,2	2,250	2,3	2,397	2,4	2,5	2,549	2,6	2,7	2,703	2,8	2,854	2,9	3,000	3,149	3,2	3,300	3,4	3,452	3,5	3,595	3,6	3,752	3,8	3,904
0,4	0,707	0,677	0,676	0,650	0,637	0,625	0,602	0,601	0,580		0,559	0,540		0,523		0,506	0,491		0,462		0,437		0,425		0,414		0,393	
0,5	0,612	0,588	0,587	0,565	0,554	0,544	0,525	0,524	0,506		0,489	0,473		0,458		0,444	0,430		-		-		-		-		-	
0,6	0,540	0,519	0,519	0,500	0,491	0,482	0,466	0,466	0,450		0,435	0,422		0,409		0,396	0,385		0,364		0,344		0,338		0,327		0,312	
0,7	0,482	0,464	0,464	0,448	0,441	0,433	0,419	0,419	0,405		0,393	0,381		0,369		0,359	0,349		0,330		0,313		0,305		0,298		0,284	
0,8	0,433	0,419	0,418	0,405	0,399	0,392	0,381	0,380	0,369		0,358	0,347		0,337		0,328	0,319		-		-		-		-		-	
0,9	0,391	0,379	0,379	0,368	0,363	0,357	0,347	0,347	0,337		0,328	0,319		0,310		0,302	0,294		-		-		-		-		-	
1,0	0,354	0,345	0,344	0,336	0,331	0,327	0,318	0,318	0,310		0,302	0,294		0,286		0,279	0,272		0,259		0,247		0,241		0,236		0,226	
1,1	0,320	0,313	0,313	0,306	0,303	0,299	0,292	0,292	0,285		0,279	0,272		0,265		0,259	0,253		-		-		-		-		-	
1,2	0,289	0,284	0,284	0,280	0,277	0,274	0,269	0,269	0,263		0,258	0,252		0,246		0,241	0,236		0,225		0,216		0,211		0,207		0,199	
1,3	0,259	0,258	0,258	0,255	0,253	0,251	0,247	0,247	0,243		0,238	0,234		0,229		0,225	0,220		-		-		-		-		-	
1,4	0,231	0,232	0,232	0,232	0,231	0,230	0,227	0,227	0,224		0,221	0,217		0,213		0,210	0,206		0,198		0,191		0,187		0,183		0,177	
1,5	0,204	0,208	0,208	0,209	0,209	0,209	0,208	0,208	0,207		0,204	0,202		0,199		0,196	0,192		0,186		0,179		0,176		0,173		0,167	
1,6	0,177	0,184	0,184	0,188	0,189	0,190	0,190	0,190	0,190		0,189	0,187		0,185		0,182	0,180		-		-		-		-		-	
1,7	0,148	0,159	0,160	0,166	0,168	0,170	0,172	0,172	0,173	0,174	0,173	0,173		0,172		0,170	0,168		0,164		0,159		0,157		0,155		0,150	
1,8	0,118	0,134	0,135	0,144	0,148	0,151	0,155	0,155	0,158		0,159	0,159	0,159		0,158	0,157		-		-		-		-		-	-	
1,9	0,081	0,107	0,107	0,122	0,127	0,131	0,138	0,138	0,142		0,145	0,146		0,147	0,147	0,147	0,146		-		-		-		-		-	
2,0	0,000	0,073	0,075	0,097	0,105	0,111	0,120	0,120	0,126		0,131	0,133		0,135		0,136	0,136		0,135		0,133		0,132		0,131		0,128	
2,1	0,000	0,030	0,067	0,079	0,088	0,101	0,102	0,110		0,116	0,120		0,123		0,125	0,126	0,126	-		-		-		-		-	-	
2,2						0,000	0,045	0,061	0,080	0,081	0,093		0,102	0,107		0,111		0,114	0,116		0,118	0,118	0,118		0,117		0,115	
2,3							0,000	0,055	0,056	0,075		0,086	0,094		0,099		0,103	0,106		0,109		0,110	0,110		0,110		0,109	
2,4								0,000	0,052		0,069	0,080		0,087		0,092	0,096		0,101		0,103		0,103	0,104	0,103		0,103	
2,5									0,000		0,048	0,064		0,074		0,081	0,086		0,092		0,096		0,097		0,097	0,097		
2,6											0,000	0,044		0,059		0,069	0,075		0,084		0,088		0,090		0,091		0,092	0,092
2,7												0,000		0,041		0,055	0,064		0,075		0,081		0,083		0,084		0,086	
2,8												0,000		0,038		0,051		0,066		0,074		0,076		0,078		0,081		
2,9												0,000		0,000		0,036		0,056		0,066		0,069		0,072		0,075		
3,0														0,000		0,000		0,045		0,058		0,062		0,065		0,070		
3,1														0,031		0,050		0,055		0,059		0,064						
3,2														0,000		0,040		0,047		0,052		0,058						
3,3														0,028		0,037		0,044		0,052		0,058						
3,4														0,000		0,026		0,035		0,046								
3,5														0,000		0,025		0,039										
3,6														0,000		0,032		0,044		0,052								
3,7														0,000		0,022												
3,8														0,000		0,032		0,044		0,052		0,064						

TABELA N° 1 ( $a_0 = 0,0$ )

continuação

$\gamma$	Valores de $f(z, \gamma)$ para os seguintes valores de $(z)$																											
	3,904	4,0	4,051	4,199	4,2	4,352	4,4	4,500	4,6	4,649	4,793	4,8	4,950	5,0	5,105	5,255	5,396	5,5	5,537	5,693	5,839	5,978	6,0	6,134	6,287	6,434	6,5	6,579
0,4	0,375			0,358		0,343		0,328		0,315		0,303					0,277					0,255					0,235	
0,7	0,271			0,260		0,249		0,239		-		-				-					-					-		
1,0	0,216			0,208		0,200		0,192		0,185		0,178				0,164					0,152					0,141		
1,5	0,161			0,156		0,151		0,146		0,141		0,137				0,127					0,118					0,110		
2,0	0,125			0,122		0,119		0,115		0,112		0,109				0,102					0,096					0,090		
2,5	-			-		-		-		0,091		0,089				0,085					0,080					0,076		
2,6	0,092	0,092		0,091		0,090		0,089		-		-				-					-					-		
2,7	0,087	0,087		0,087		0,086		0,085		-		-				-					-					-		
2,8	0,082	0,082	0,082	0,082		0,082		0,081		-		-				-					-					-		
2,9	0,077		0,078	0,078	0,078		0,078		-		-					-					-					-		
3,0	0,072		0,073	0,074	0,074	0,074		0,074		0,073				0,071						0,068					0,065			
3,1	0,067		0,069	0,070	0,070	0,070	0,071		0,070		0,070				0,068						-					-		
3,2	0,062		0,065	0,066	0,067	0,067	0,067		0,067		0,067				0,066						-					-		
3,3	0,058		0,061	0,062	0,064	0,064		0,064	0,064	0,064				0,063						-					-			
3,4	0,052		0,056	0,059	0,060	0,060		0,061	0,061	0,061	0,061			0,061						-					-			
3,5	0,047		0,052	0,055	0,057	0,057		0,058	0,058	0,058	0,059			0,059						0,057					0,056			
3,6	0,042		0,047	0,051	0,053	0,053		0,055	0,056	0,056	0,056	0,056								-					-			
3,7	0,036		0,043	0,047	0,050	0,050		0,052	0,053	0,053	0,054	0,054								0,054					0,052			
3,8	0,029		0,038	0,043	0,046	0,046		0,049	0,050	0,050	0,052									0,052					0,051			
3,9	0,020		0,032	0,039	0,043	0,043		0,046	0,047	0,047	0,050									0,050					0,049			
4,0	0,000		0,026	0,034	0,039	0,039		0,042	0,045	0,045	0,047									0,048	0,048				0,048			
4,1			0,018	0,029	0,035	0,035		0,039	0,042	0,042	0,045									0,046	0,046				0,046			
4,2			0,000	0,024	0,031	0,031		0,036	0,039	0,039	0,043									0,044					0,045			
4,3				0,016	0,027	0,027		0,032	0,036	0,036	0,041									0,043					0,043	0,043		
4,4				0,000	0,022	0,022		0,029	0,033	0,033	0,039									0,041					0,042	0,042		
4,5					0,015	0,020		0,024	0,030	0,030	0,036									0,039					0,040			
4,6					0,000	0,020		0,026	0,034	0,034	0,034									0,037					0,039			
4,7						0,014		0,023	0,032	0,032	0,032									0,036					0,037			
4,8						0,000		0,018	0,028	0,028	0,028									0,034					0,036			
4,9								0,013	0,023	0,023	0,027								0,032					0,034				
5,0								0,000	0,013	0,013	0,024								0,030					0,033				

TABELA Nº 1 ( $q_0 = 0,0$ )

continuação

$\gamma$	Valores de $f(z, \gamma)$ para os seguintes valores de $(z)$										
	6,579	6,729	6,870	7,0	7,008	7,181	7,342	7,500	8,0	9,0	10,0
0,4				0,219					0,193	0,172	0,155
1,0				0,132					0,117	0,105	0,095
1,5				0,103					0,092	0,083	0,075
2,0				0,085					0,076	0,069	0,063
2,5				0,072					0,065	0,060	0,055
3,0				0,062					0,057	0,052	0,048
3,5				0,054					0,050	0,046	0,043
4,0				0,047					0,044	0,041	0,039
4,4	0,042			-					-	-	-
4,5		0,040		0,040					0,039	0,037	0,035
4,6			0,039	0,039					0,038	0,036	0,034
4,7				0,038	0,038				0,037	0,035	0,033
4,8				0,036		0,036			0,036	0,035	0,033
4,9				0,035			0,035		0,035	0,034	0,032
5,0				0,034				0,034	0,034	0,033	0,032

Gráfico nº 1  
Curvas  $z \cdot f(z, \eta_0)$   
 $q_0 = 0,0$

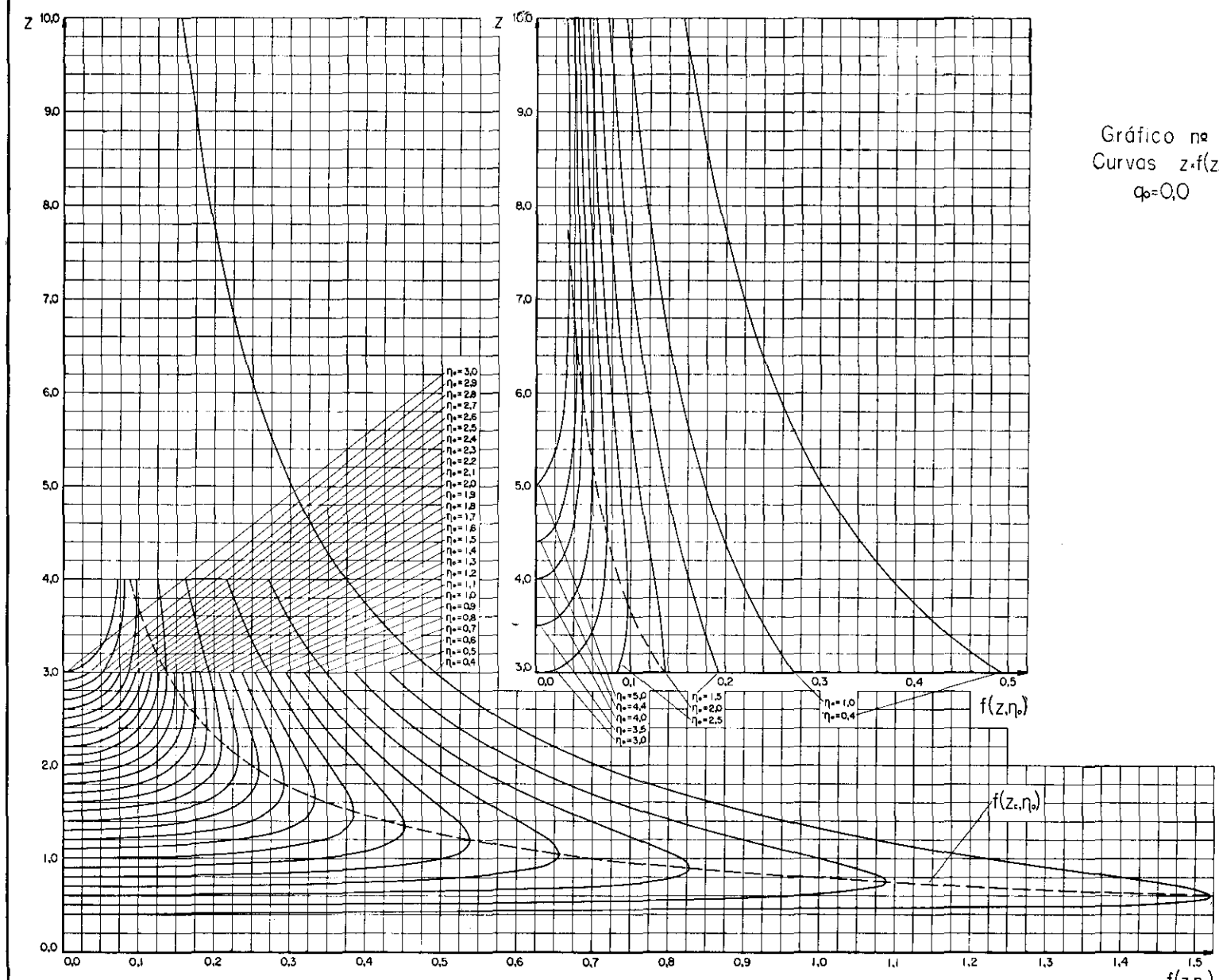


TABELA N° 2 (q<sub>0</sub> = 0,5)

TABELA N° 2 (q<sub>o</sub> = 0,5)

**continuação**

TABELA N.º 2 ( $q_0 = 0,5$ )

continuação

$\gamma$	Valores de $f(z, \gamma)$ para os seguintes valores de $(z)$																					
	4,2	4,215	4,359	4,4	4,506	4,6	4,654	4,800	4,962	5,0	5,117	5,263	5,402	5,5	5,543	5,695	5,841	5,949	6,0	6,136	6,292	6,436
0,4	0,401			0,381		0,364			0,334			0,302						0,276				0,254
0,6	0,318			0,304		-			-			-						-				-
0,7	0,290			0,277		0,265			0,244			0,221						0,203				0,187
1,0	0,232			0,222		0,213			0,197			0,179						0,165				0,152
1,5	0,174			0,168		0,161			0,150			0,138						0,128				0,119
2,0	0,136			0,132		0,128			0,120			0,112						0,104				0,097
2,5	0,107			0,105		0,103			0,098			0,093						0,087				0,082
2,7	0,097			0,096		-			-			-						-				-
2,8	0,092			0,091		-			-			-						-				-
2,9	0,087	0,087		0,087		-			-			-						-				-
3,0	0,082		0,082	0,082		0,082			0,080			0,077						0,074				0,070
3,1	0,077			0,078	0,078	-			-			-						-				-
3,2	0,073			0,074		0,074	0,074		0,074			0,072						-				-
3,3	0,068			0,070		0,070		0,071		0,071		0,069						-				-
3,4	0,063			0,065		0,067			0,068	0,067		0,066						-				-
3,5	0,058			0,061		0,063				0,064	0,064	0,064						0,062				0,060
3,6	0,053			0,057		0,059				0,061	0,062	0,061						-				-
3,7	0,048			0,052		0,055				0,058		0,059	0,059					-				-
3,8	0,042			0,048		0,051				0,055		0,056	0,057					0,056				0,055
3,9	0,036			0,043		0,047				0,052		0,054		0,054				0,054				0,053
4,0	0,029			0,038		0,043				0,049		0,052		0,052				0,052				0,051
4,1	0,020			0,033		0,039				0,046		0,049		0,049				0,050	0,050			0,050
4,2	0,000			0,026		0,035				0,043		0,047		0,047				0,048	0,048			0,048
4,3				0,018		0,030				0,040		0,045		0,045				0,046		0,046		0,046
4,4				0,000		0,024				0,036		0,042		0,042				0,044			0,045	
4,5						0,017				0,033		0,040		0,040				0,042				0,043
4,6						0,000				0,029		0,037		0,037				0,041				0,042
4,7										0,025		0,035		0,035				0,039				0,040
4,8										0,020		0,032		0,032				0,037				0,039
4,9										0,014		0,030		0,030				0,035				0,037
5,0										0,000		0,027		0,027				0,033				0,036

TABELA N.º 2 ( $q_0 = 0,5$ )

$\gamma$	Valores de $f(z, \gamma)$ para os seguintes valores de (z)										
	6,5	6,587	6,737	6,881	7,0	7,027	7,188	7,346	8,0	9,0	10,0
0,4	0,254				0,235				0,205	0,181	0,163
0,7	0,187				0,173				0,151	0,135	0,121
1,0	0,152				0,142				0,124	0,110	0,095
1,5	0,119				0,111				0,100	0,087	0,079
2,0	0,097				0,091				0,081	0,073	0,066
2,5	0,082				0,078				0,070	0,063	0,057
3,0	0,070				0,067				0,061	0,055	0,051
3,5	0,060				0,059				0,053	0,049	0,045
4,0	0,051				0,050				0,047	0,044	0,041
4,5	0,043	0,043			0,043				0,041	0,039	0,037
4,6	0,042		0,042		0,042				0,040	0,038	0,036
4,7	0,040			0,040	0,040				0,039	0,037	0,035
4,8	0,039				0,039	0,039			0,038	0,036	0,034
4,9	0,037				0,038		0,038		0,037	0,036	0,034
5,0	0,036				0,037			0,037	0,036	0,035	0,033

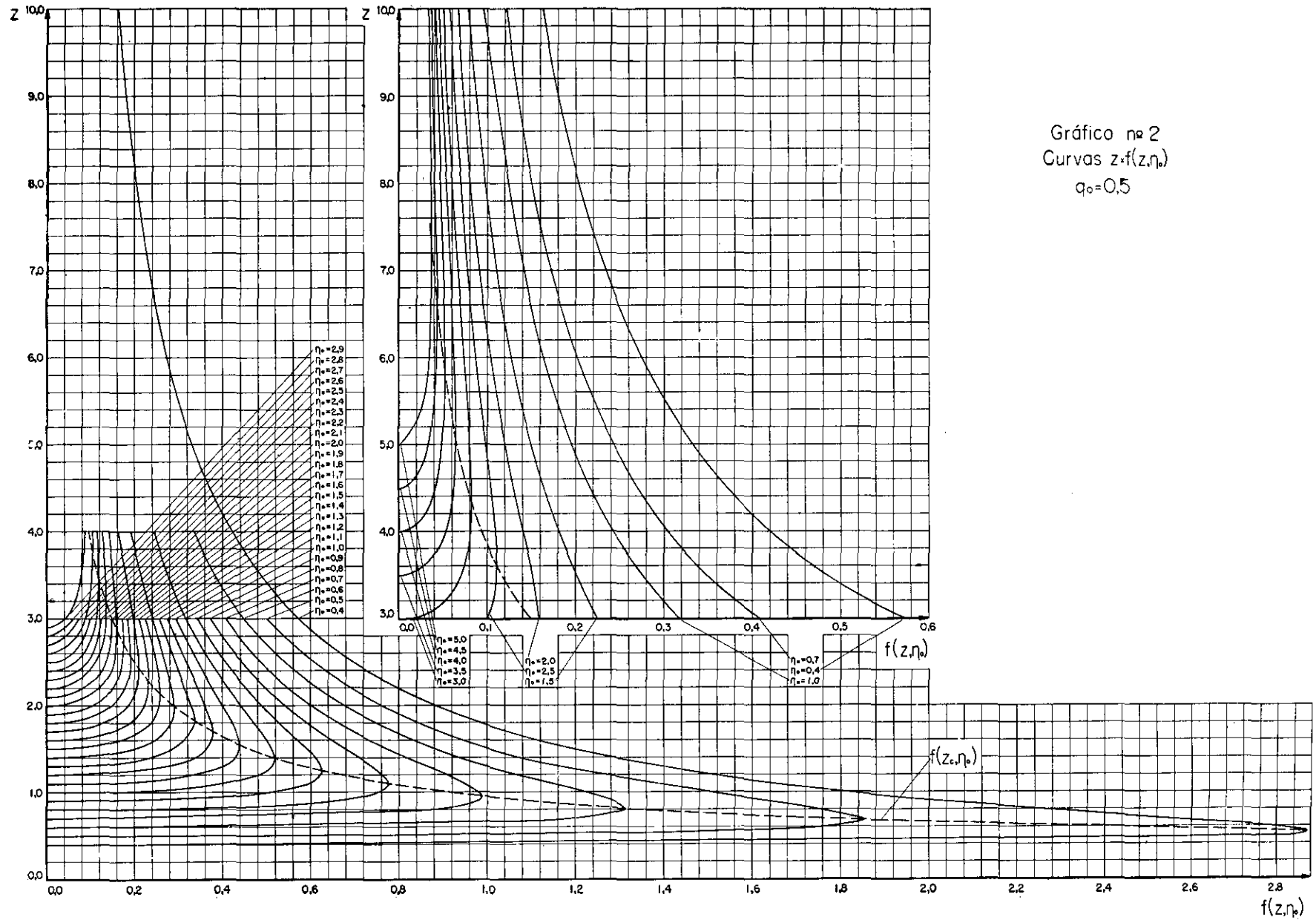


TABELA N° 3 ( $q_0 = 1,0$ )

TABELA Nº 3 ( $q_0 = 1,0$ )

continuação

$\gamma$	Valores de $f(z, \gamma)$ para os seguintes valores de $(z)$																															
	1,7	1,780	1,8	1,9	1,928	2,0	2,060	2,2	2,208	2,356	2,4	2,500	2,6	2,644	2,788	2,8	2,937	3,0	3,086	3,2	3,225	3,383	3,4	3,525	3,6	3,663	3,8	3,822	3,967			
0,4	1,292	1,221	1,204	1,129		1,060	0,945			0,851	0,811	0,773			0,709		0,654		0,606			0,566		0,529		0,497						
0,5	1,110	1,052	1,039	0,975		0,919	0,822			0,743	0,708	0,677			0,621		0,574		0,533			0,497		0,466		0,438						
0,6	0,970	0,922	0,912	0,858		0,810	0,728			0,660	0,630	0,603			0,554		0,513		0,477			0,446		0,418		0,394						
0,7	0,856	0,816	0,807	0,763		0,722	0,652			0,593	0,568	0,543			0,502		0,464		0,433			0,406		0,381		0,358						
0,8	0,760	0,728	0,720	0,684		0,650	0,590			0,539	0,516	0,495			0,485		0,425		0,397			0,372		0,350		0,330						
0,9	0,675	0,650	0,644	0,614		0,586	0,535			0,492	0,464	0,454			0,421		0,392		0,366			0,344		0,324		0,306						
1,0	0,589	0,581	0,576	0,553		0,530	0,488			0,450	0,434	0,417			0,389		0,360		0,340			0,320		0,301		0,285						
1,1	0,529	0,517	0,514	0,497		0,480	0,446			0,414	0,400	0,386			0,360		0,337		0,317			0,298		0,282		0,267						
1,2	0,462	0,457	0,456	0,445		0,433	0,407			0,381	0,369	0,356			0,334		0,314		0,296			0,279		0,264		0,251						
1,3	0,397	0,399	0,398	0,396		0,389	0,371			0,350	0,340	0,330			0,311		0,293		0,277			0,262		0,249		0,236						
1,4	0,355	0,342	0,344	0,348	0,348	0,347	0,337			0,322	0,314	0,306			0,290		0,274		0,260			0,247		0,234		0,223						
1,5	0,262	0,284	0,288	0,300		0,306	0,308	0,304		0,295	0,290	0,282			0,270		0,256		0,244			0,233		0,221		0,211						
1,6	0,179	0,220	0,228	0,252		0,265	0,273	0,273		0,269	0,266	0,261			0,251		0,240		0,299			0,219		0,203		0,200						
1,7	0,000	0,142	0,156	0,200		0,223	0,242	0,245	0,244	0,243	0,240	0,220	0,220	0,220	0,216	0,209	0,202	0,224	0,215	0,215	0,206	0,198	0,189	0,189	0,189	0,189						
1,8		0,000	0,137			0,177	0,210			0,220	0,221	0,220			0,216		0,209		0,202			0,195		0,187		0,180						
1,9			0,000			0,122	0,177			0,195	0,199	0,200	0,201		0,199		0,195		0,190			0,183		0,177		0,170						
2,0						0,000	0,141			0,170	0,177	0,180		0,183	0,182	0,181	0,181	0,177	0,177	0,173	0,167	0,167	0,162	0,162	0,162	0,162	0,162					
2,1							0,097				0,144	0,155	0,161			0,167	0,168	0,168	0,166	0,166	0,162	0,158	0,153	0,153	0,153	0,153	0,153					
2,2							0,000				0,115	0,131	0,141			0,151		0,155	0,155	0,154			0,152		0,149		0,145					
2,3											0,079	0,104	0,119			0,135		0,141		0,143	0,144		0,143		0,141		0,138					
2,4											0,000	0,072	0,095			0,118		0,128		0,122		0,134	0,133	0,132	0,132	0,130	0,130					
2,5											0,000	0,060	0,060			0,100		0,115		0,121			0,123	0,124	0,124	0,124	0,123	0,123				
2,6												0,000	0,000	0,000			0,080		0,100		0,110			0,114		0,116	0,116	0,116	0,116			
2,7													0,066	0,066	0,066			0,085		0,099			0,105		0,108		0,109	0,109				
2,8													0,000	0,000	0,000			0,068		0,087			0,095		0,100		0,102		0,102			
2,9														0,047	0,047	0,047			0,074			0,086		0,082		0,095						
3,0														0,000	0,000	0,000			0,059			0,075		0,084		0,088						
3,1															0,041	0,041	0,041			0,064			0,075		0,081			0,081				
3,2															0,052	0,052	0,052			0,066			0,074			0,074			0,074			
3,3															0,036	0,036	0,036			0,056			0,066			0,066			0,066			
3,4															0,000	0,000	0,000			0,045			0,050			0,050			0,050			
3,5																0,031	0,031	0,031			0,040			0,040			0,040			0,040		
3,6																0,000	0,000	0,000			0,028			0,028			0,028			0,028		
3,7																	0,000	0,000	0,000			0,000			0,000			0,000			0,000	
3,8																		0,000	0,000	0,000			0,000			0,000			0,000			0,000

TABELA N° 3 ( $q_0 = 1,0$ )

continuação

$\eta$	Valores de $f(z, \eta)$ para os seguintes valores de $z$																											
	3,967	4,0	4,113	4,2	4,267	4,400	4,543	4,6	4,700	4,8	4,855	5,000	5,154	5,308	5,442	5,5	5,595	5,738	5,881	6,0	6,028	6,194	6,333	6,472	6,5	6,625	6,750	6,906
0,4	0,469		0,443			0,400		0,381		0,364										0,297						0,271		
0,7	0,339		0,321			0,292		0,278		0,266										0,240						0,200		
1,0	0,270		0,257			0,234		0,224		0,215										0,194						0,163		
1,5	0,202		0,193			0,177		0,170		0,164										0,150						0,127		
2,0	0,156		0,151			0,140		0,136		0,131										0,121						0,104		
2,5	0,121		0,118			0,113		0,110		0,107										0,100						0,088		
2,7	0,108		0,107			0,104		-		-										-						-		
2,8	0,102	0,102	0,102			0,099		-		-										-						-		
2,9	0,096	0,097	0,096			0,095		-		-										-						-		
3,0	0,090		0,091	0,092		0,090		0,089		0,088									0,083						0,079		0,075	
3,1	0,084		0,086			0,086		-		-										-						-		
3,2	0,078		0,080			0,082	0,082	-		-										-						-		
3,3	0,072		0,075			0,077	0,077	0,077		0,077									0,075						-			
3,4	0,066		0,070			0,073		0,074	0,074	0,074									0,072						-			
3,5	0,059		0,064			0,069		0,070		0,071									0,069						0,066		0,064	
3,6	0,052		0,059			0,065		0,066		0,067									0,067						-			
3,7	0,044		0,053			0,061		0,063		0,064									0,064						-			
3,8	0,036		0,047			0,056		0,059		0,060									0,061						-			
3,9	0,025		0,040			0,052		0,055		0,057									0,059	0,059					-			
4,0	0,000		0,032			0,048		0,051		0,054									0,056	0,057					0,055			
4,1			0,022			0,043		0,047		0,050									0,053		0,054				0,053			
4,2			0,000			0,038		0,043		0,047									0,051						0,051			
4,3						0,032		0,039		0,043									0,048						0,049			
4,4						0,026		0,035		0,040									0,046		0,048				0,048			
4,5						0,018		0,030		0,036									0,043						0,046			
4,6						0,000		0,024		0,032									0,040		0,044				0,045			
4,7								0,017		0,027									0,038		0,042				0,043			
4,8								0,000		0,022									0,035		0,040				0,041			
4,9										0,015									0,032		0,037				0,040			
5,0										0,000									0,029		0,035				0,038			

TABELA Nº 3 ( $q_0 = 1,0$ )

conclusão

$\eta$	Valores de $f(z, \eta)$ para os seguintes valores de z									
	6,906	7,0	7,042	7,208	7,5	8,0	8,5	9,0	9,5	10,0
0,4		0,250			0,232	0,217	0,203	0,191	0,180	0,170
0,7		0,185			0,172	0,160	0,150	0,141	0,134	0,127
1,0		0,151			0,141	0,132	0,123	0,116	0,110	0,104
1,5		0,118			0,110	0,103	0,097	0,092	0,087	0,083
2,0		0,097			0,092	0,086	0,081	0,077	0,073	0,069
2,5		0,083			0,078	0,074	0,070	0,066	0,063	0,060
3,0		0,071			0,068	0,064	0,061	0,058	0,055	0,053
3,5		0,062			0,059	0,056	0,054	0,052	0,049	0,047
4,0		0,053			0,052	0,050	0,048	0,046	0,044	0,043
4,5		0,046			0,045	0,044	0,042	0,041	0,040	0,038
4,8	0,042	0,042			0,041	0,041	0,039	0,038	0,037	0,036
4,9		0,040	0,040		0,040	0,040	0,039	0,038	0,036	0,035
5,0		0,039		0,039	0,039	0,038	0,038	0,037	0,036	0,035

Gráfico nº 3  
Curvas  $z \times f(z, \eta_0)$   
 $q_0 = 1,0$

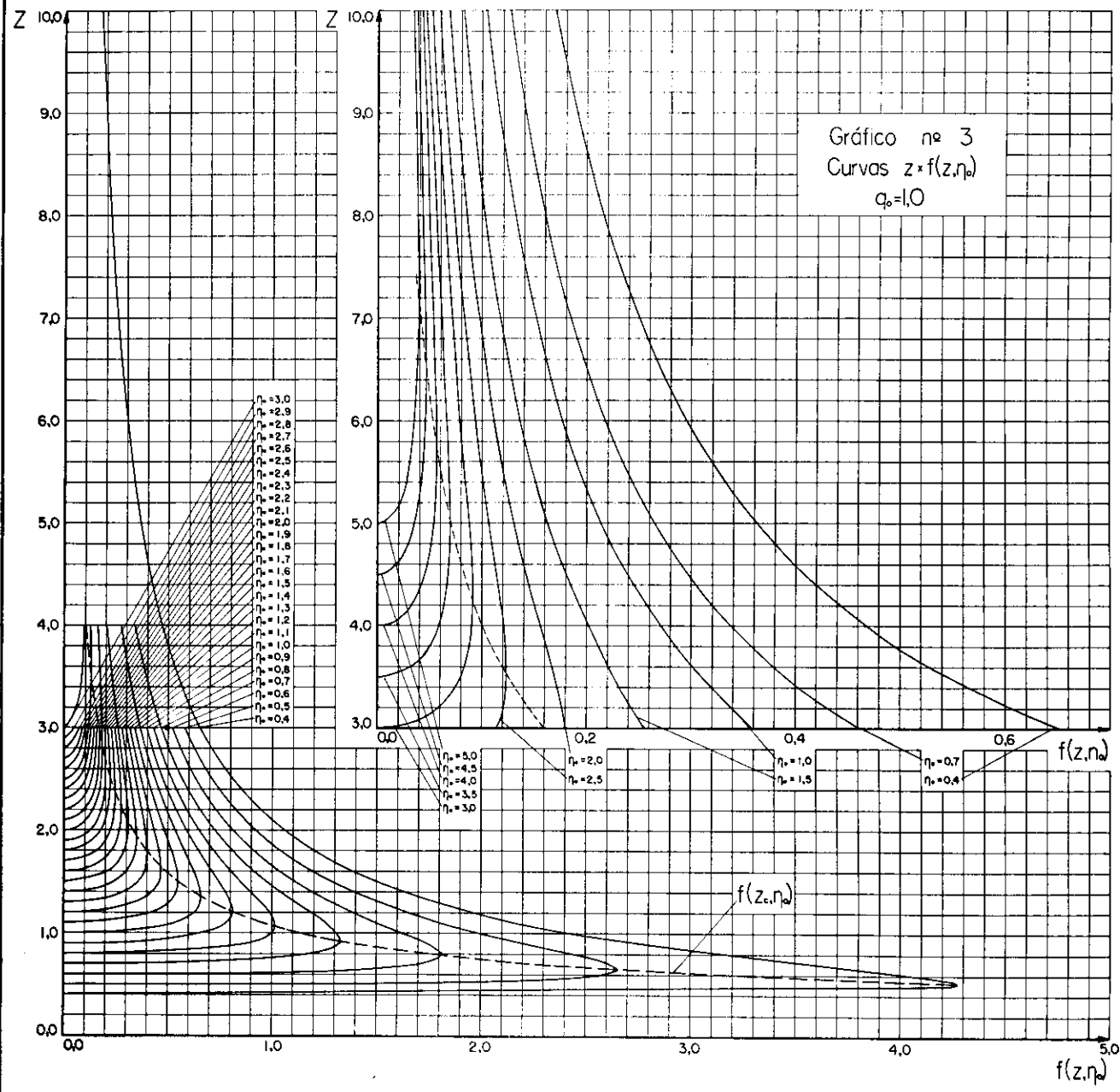


TABELA N° 4 (q<sub>g</sub> = 1,5)

TABELA N° 4 ( $q_0 = 1,5$ )

continuação

$\gamma$	Valores de $f(z, \gamma)$ para os seguintes valores de $(z)$																							
	1,7	1,748	1,8	1,889	1,9	2,0	2,028	2,169	2,2	2,311	2,4	2,450	2,589	2,6	2,737	2,8	2,883	3,0	3,025	3,166	3,2	3,311		
0,4	1,531	1,476	1,420	1,333	1,323	1,237			1,093		0,977			0,882		0,803		0,736			0,679			
0,5	1,316	1,270	1,224	1,152	1,143	1,072			0,950		0,852			0,771		0,703		-			-			
0,6	1,150	1,112	1,074	1,013	1,006	0,945			0,842		0,757			0,687		0,628		0,577			0,534			
0,7	1,015	0,983	0,951	0,900	0,894	0,843			0,754		0,681			0,619		0,568		0,523			0,485			
0,8	0,901	0,875	0,849	0,806	0,801	0,758			0,682		0,618			0,564		0,518		0,479			0,444			
0,9	0,801	0,780	0,759	0,724	0,720	0,684			0,619		0,564			0,517		0,476		0,441			0,410			
1,0	0,710	0,695	0,679	0,651	0,648	0,619			0,565		0,517			0,476		0,440		0,408			0,381			
1,1	0,627	0,617	0,606	0,585	0,583	0,560			0,515		0,475			0,439		0,407		-			-			
1,2	0,548	0,543	0,537	0,523	0,522	0,505			0,470		0,437			0,406		0,378		0,353			0,331			
1,3	0,471	0,472	0,471	0,465	0,464	0,454			0,429		0,402			0,376		0,352		-			-			
1,4	0,393	0,401	0,406	0,408	0,408	0,405			0,390		0,369			0,348		0,328		0,309			0,291			
1,5	0,310	0,327	0,340	0,352	0,353	0,357	0,358		0,352		0,338			0,322		0,305		0,289			0,273			
1,6	0,213	0,244	0,268	0,294	0,296	0,309		0,316	0,316		0,309			0,297		0,284		0,270			0,257			
1,7	0,000	0,135	0,184	0,230	0,234	0,260			0,279	0,281	0,280			0,274		0,264		-			-			
1,8			0,000	0,153	0,161	0,206			0,243		0,252	0,252		0,251		0,244		0,236			0,226			
1,9				0,000	0,142				0,205		0,224		0,228	0,228		0,226		-			-			
2,0					0,000				0,163		0,195			0,206	0,208	0,207		0,204			0,199			
2,1									0,113		0,165			0,183		0,189	0,189	0,189			0,186			
2,2									0,000		0,132			0,160		0,171		0,174	0,174			0,173		
2,3										0,091			0,136		0,153		0,159		0,160	0,160				
2,4										0,000			0,109		0,134		0,144				0,148	0,149		
2,5													0,075		0,114		0,129					0,136		
2,6													0,000		0,091		0,113					0,123		
2,7															0,063		0,096					0,110		
2,8															0,000		0,077					0,097		
2,9																	0,054					0,082		
3,0																	0,000					0,066		
3,1																					0,046			
3,2																					0,000			

TABELA N° 4 ( $q_0 = 1,5$ )

continuação

$\gamma$	Valores de $f(z, \gamma)$ para os seguintes valores de $(z)$																												
	3,311	3,4	3,460	3,595	3,6	3,743	3,8	3,893	4,0	4,040	4,184	4,2	4,325	4,4	4,475	4,6	4,617	4,765	4,8	4,915	5,0	5,064	5,214	5,358	5,492	5,5	5,843	5,788	
0,4	0,629				0,587	0,549	0,515			0,486	0,459	0,435							0,414	0,394						0,352			
0,6	0,497				0,464	0,435	0,409			0,386	0,365	0,347							-	-						-			
0,7	0,451				0,422	0,396	0,373			0,352	0,334	0,317							0,302	0,288						0,258			
0,8	0,414				-	-	-			-	-	-							-	-						-			
0,9	0,383				-	-	-			-	-	-							-	-						-			
1,0	0,356				0,334	0,315	0,298			0,282	0,268	0,255							0,243	0,232						0,209			
1,2	0,311				0,293	0,277	0,262			0,249	0,237	0,226							0,216	0,207						0,187			
1,4	0,275				0,260	0,246	0,234			-	-	-							-	-						-			
1,5	0,259				-	-	-			-	-	-							-	-						-			
1,6	0,244				0,232	0,221	0,210			0,201	0,192	0,184							0,176	0,169						0,154			
1,8	0,217				0,207	0,198	0,190			-	-	-							-	-						-			
2,0	0,192				0,185	0,179	0,172			0,165	0,159	0,153							0,148	0,142						0,130			
2,1	0,181				-	-	-			-	-	-							-	-						-			
2,2	0,170				0,165	0,160	0,155			-	-	-							-	-						-			
2,3	0,159				-	-	-			-	-	-							-	-						-			
2,4	0,149	0,148			-	-	-			-	-	-							-	-						-			
2,5	0,138	0,138	0,138		0,136	0,133				0,130	0,127	0,123							0,120	0,116						0,108			
2,6	0,127	0,129	0,129	0,129	0,128	0,126				-	-	-							-	-						-			
2,7	0,117				0,120	0,120	0,120			-	-	-							-	-						-			
2,8	0,106				0,111	0,112	0,112			-	-	-							-	-						-			
2,9	0,095				0,102	0,105	0,106	0,106		0,105	0,104	0,103							-	-						-			
3,0	0,084				0,093	0,097	0,099	0,100	0,100	0,099	0,098	0,098							0,097	0,095						0,090			
3,1	0,071				0,083	0,089	0,093	0,093	0,094	0,094	0,094	0,093							-	-						-			
3,2	0,057				0,073	0,081	0,086	0,086	0,088	0,089	0,089	0,089							-	-						-			
3,3	0,040				0,063	0,073	0,079	0,079	0,082	0,084	0,084	0,085							0,084	0,083						0,080			
3,4	0,000				0,050	0,065	0,072	0,072	0,076	0,079	0,080	0,080							0,080	0,080						0,077			
3,5					0,035	0,055	0,065	0,065	0,070	0,074	0,075	0,075							0,076	0,076						0,075			
3,6					0,000	0,044	0,057	0,057	0,064	0,068	0,071	0,071							0,072	0,073						0,072			
3,7						0,031	0,049	0,058	0,058	0,063	0,068	0,068	0,068							0,069	0,069						0,069		
3,8						0,000	0,039	0,051	0,051	0,058	0,062	0,062	0,064							0,065	0,065						0,066		
3,9							0,027	0,044	0,052	0,052	0,057	0,057	0,060							0,062	0,062						0,063		
4,0							0,000	0,035	0,046	0,046	0,052	0,052	0,056							0,058	0,058						0,060	0,060	
4,1								0,025	0,039	0,047	0,047	0,051	0,054							0,054	0,054						0,058		
4,2								0,000	0,032	0,041	0,041	0,047	0,051							0,051	0,051						0,055		
4,3									0,022	0,035	0,042	0,042	0,047							0,047	0,047						0,052		
4,4									0,000	0,029	0,038	0,038	0,043							0,043	0,043						0,049		
4,5										0,020	0,032	0,032	0,039							0,039	0,039						0,046		
4,6										0,000	0,026	0,026	0,034							0,034	0,034						0,044		
4,7											0,018	0,029	0,029	0,038						0,029	0,029						0,041		
4,8											0,000	0,024	0,024	0,034						0,024	0,024						0,038		
4,9												0,017	0,017	0,017							0,034	0,034						0,034	
5,0												0,000	0,000	0,000							0,031	0,031						0,031	

continuação

TABELA N.º 4 ( $q_0 = 1,5$ )

$\gamma$	Valores de $f(z, \gamma)$ para os seguintes valores de $(z)$																
	5,788	5,926	6,0	6,069	6,214	6,355	6,489	6,5	6,650	6,811	6,961	7,0	7,115	8,0	9,0	10,0	
0,4			0,318					0,290				0,266		0,229	0,200	0,178	
0,7			0,234					0,214				0,197		0,169	0,149	0,132	
1,0			0,190					0,174				0,161		0,139	0,122	0,109	
1,2			0,170					0,156				0,144		0,125	0,110	0,098	
1,6			0,141					0,130				0,120		0,105	0,093	0,083	
2,0			0,120					0,111				0,104		0,091	0,081	0,073	
2,5			0,101					0,094				0,088		0,078	0,070	0,063	
3,0			0,085					0,080				0,076		0,068	0,061	0,055	
3,5			0,072					0,069				0,066		0,059	0,054	0,049	
4,0			0,060					0,059				0,057		0,052	0,048	0,044	
4,1	0,058		0,058					0,057				-		-	-	-	
4,2		0,056	0,056					0,055				-		-	-	-	
4,3			0,053	0,053				0,053				-		-	-	-	
4,4			0,051		0,051			0,051				-		-	-	-	
4,5			0,049			0,049		0,049				0,049		0,046	0,043	0,040	
4,6			0,047				0,048	0,048				0,047		0,045	0,042	0,039	
4,7			0,045					0,046	0,046			0,046		0,044	0,041	0,039	
4,8			0,042						0,044		0,044			0,043	0,040	0,038	
4,9			0,040						0,042			0,043	0,043		0,042	0,039	0,037
5,0			0,038						0,041			0,041	0,042	0,041	0,039	0,036	

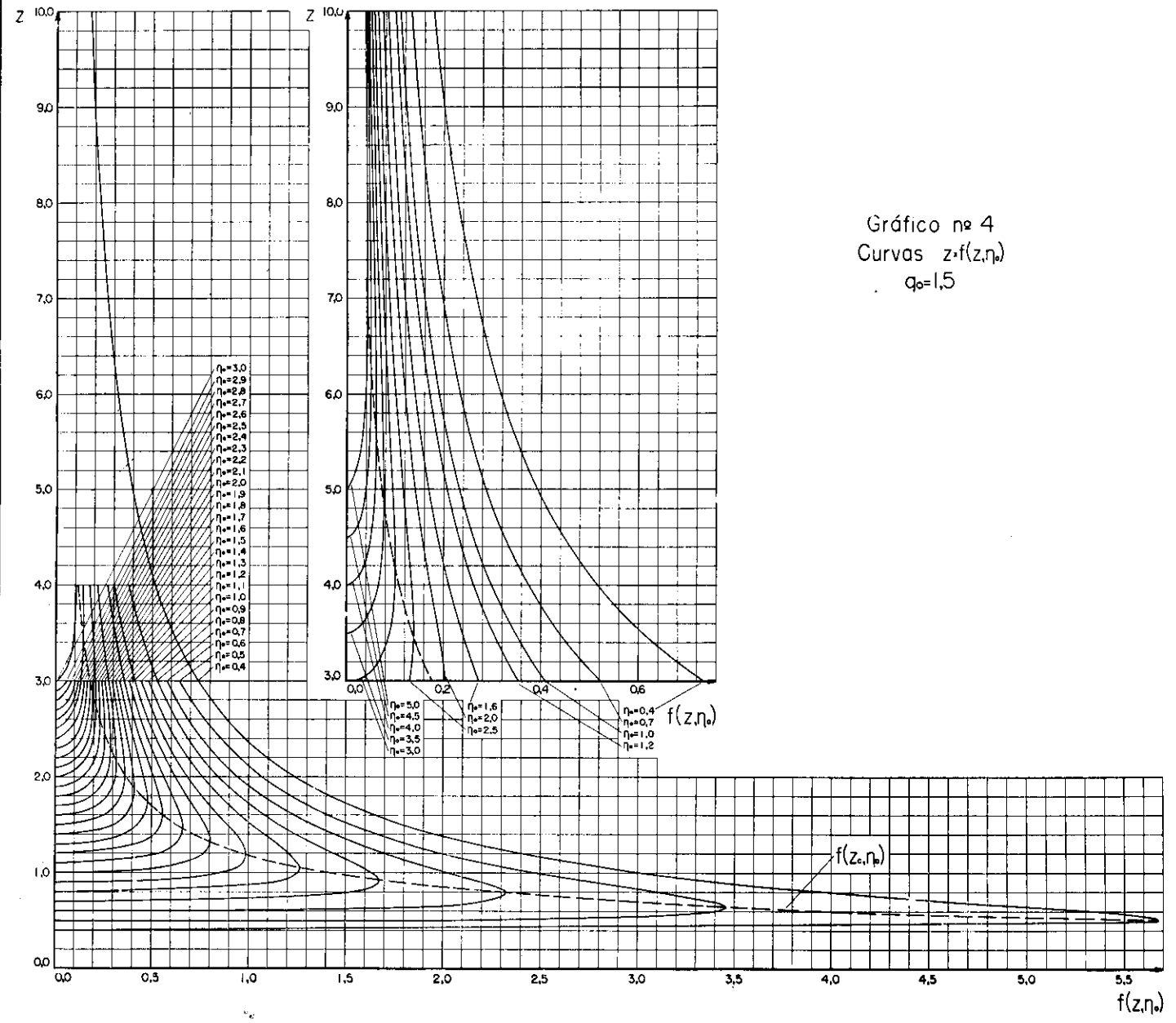


Gráfico nº 4  
 Curvas  $z \cdot f(z, \eta_0)$   
 $q_0 = 1,5$

TABELA N° 5 (q<sub>0</sub> = 2,0)

$\gamma$	Valores de $f(z, \gamma)$ para os seguintes valores de $(z)$																											
	0,4	0,5	0,51	0,513	0,52	0,53	0,54	0,55	0,60	0,646	0,7	0,777	0,8	0,9	0,908	1,0	1,047	1,1	1,179	1,2	1,3	1,319	1,4	1,450	1,5	1,586	1,6	1,7
0,4	0,000	7,072	7,087	7,083	7,080	7,053	7,013	6,961	6,593	6,187	5,704	5,064	4,892	4,219	4,174	3,874	3,455	3,231	2,939	2,869	2,569	2,518	2,318	2,208	2,106	1,949	1,925	1,770
0,5	0,000	1,914	2,152	2,587	3,032	3,353	3,595	4,170	4,263	4,166	3,884	3,790	3,375	3,345	3,000	2,841	2,676	2,455	2,400	2,166	2,126	1,967	1,878	1,796	1,668	1,649	1,521	
0,6								0,000	2,186	2,689	2,834	2,824	2,669	2,653	2,449	2,345	2,230	2,069	2,029	1,850	1,818	1,693	1,622	1,556	1,451	1,435	1,329	
0,7								0,000	1,728	1,846	2,016	2,017	1,963	1,911	1,845	1,741	1,714	1,585	1,561	1,465	1,410	1,357	1,273	1,260	1,173			
0,8								0,000	1,334	1,361	1,500	1,510	1,496	1,450	1,435	1,354	1,338	1,270	1,228	1,188	1,122	1,112	1,041					
0,9								0,000	0,349	1,000	1,098	1,152	1,173	1,171	1,142	1,133	1,093	1,065	1,037	0,988	0,980	0,926						
1,0								0,000	0,589	0,773	0,891	0,907	0,938	0,938	0,927	0,914	0,898	0,867	0,861	0,821								
1,1								0,000	0,564	0,611	0,730	0,741	0,766	0,768	0,766	0,752	0,749	0,725										
1,2											0,000	0,494	0,523	0,599	0,622	0,635	0,642	0,642	0,634									
1,3											0,000	0,201	0,407	0,463	0,498	0,531	0,534	0,545										
1,4											0,000	0,257	0,340	0,412	0,420	0,454												
1,5																					0,000	0,271	0,287	0,359				
1,6																							0,000	0,246				

TABELA N° 5 ( $q_0 = 2,0$ )

continuação

$\eta$	Valores de $f(z, \eta)$ para os seguintes valores de $(z)$																												
	1,7	1,728	1,8	1,865	1,9	2,0	2,010	2,142	2,2	2,281	2,4	2,417	2,558	2,6	2,703	2,8	2,844	2,944	3,0	3,127	3,2	3,269	3,4	3,409	3,554	3,6	3,701	3,8	
0,4	1,770	1,730	1,635	1,557	1,518	1,414	1,404		1,241		1,103		0,990		0,896		0,818		0,751		0,694		0,644		0,601				
0,5	1,521	1,488	1,409	1,344	1,311	1,225	1,217		1,079		0,961		0,865		0,785		-		-		-		-		-				
0,6	1,329	1,302	1,236	1,182	1,154	1,080	1,073		0,955		0,854		0,770		0,701		0,641		0,591		0,547		0,509		0,476				
0,7	1,173	1,151	1,095	1,049	1,026	0,963	0,957		0,856		0,768		0,695		0,633		0,581		0,536		0,497		0,463		0,433				
0,8	1,041	1,023	0,977	0,939	0,919	0,866	0,861		0,774		0,697		0,633		0,578		0,532		0,492		0,457		0,426		-				
0,9	0,926	0,911	0,874	0,843	0,826	0,782	0,777		0,703		0,636		0,580		0,531		0,490		0,454		0,422		0,394		-				
1,0	0,821	0,810	0,782	0,757	0,743	0,707	0,703		0,641		0,583		0,534		0,491		0,453		0,421		0,392		0,367		0,345				
1,1	0,725	0,718	0,697	0,678	0,668	0,639	0,637		0,585		0,536		0,493		0,455		-		-		-		-		-				
1,2	0,634	0,630	0,618	0,606	0,598	0,577	0,575		0,534		0,493		0,456		0,422		0,393		0,368		0,343		0,322		-				
1,3	0,545	0,545	0,542	0,536	0,532	0,519	0,517		0,487		0,454		0,422		0,393		-		-		-		-		-				
1,4	0,454	0,460	0,467	0,469	0,438	0,463	0,462		0,442		0,417		0,391		0,366		0,343		0,322		0,303		0,285		-				
1,5	0,359	0,370	0,391	0,401	0,405	0,408	0,408		0,400		0,382		0,361		0,341		-		-		-		-		0,255				
1,6	0,246	0,269	0,309	0,331	0,339	0,354	0,354	0,358	0,358		0,349		0,334		0,317		0,300		0,284		0,269		0,255		-				
1,7	0,000	0,122	0,212	0,253	0,269	0,297	0,299		0,317	0,318	0,316		0,307		0,294		-		-		-		-		-				
1,8		0,000	0,154	0,185	0,236	0,239		0,278		0,285	0,285	0,281		0,273		0,262		0,250		0,239		0,228		-		-			
1,9			0,000	0,162	0,168		0,232		0,253	0,256	0,256		0,252		-		-		-		-		-		-				
2,0				0,000	0,050		0,185		0,220		0,231	0,232	0,231		0,227		0,220		0,212		0,204		0,195		-				
2,1							0,128		0,186		0,206		0,211	0,211	0,210		0,205		0,199		0,192		-		-				
2,2							0,000		0,148		0,180		0,181		0,193	0,193	0,191		0,187		0,182		-		-				
2,3									0,103		0,152		0,171		0,177	0,178	0,178		0,175		0,171		-		-				
2,4									0,000		0,122		0,149		0,160		0,164	0,164	0,163		0,161		-		-				
2,5											0,084		0,127		0,143		0,150		0,152	0,152	0,151		0,149		-				
2,6											0,000		0,101		0,126		0,136		0,140		0,142	0,141		0,140		-			
2,7												0,000		0,091		0,107		0,122		0,129		0,131	0,132	0,131		-			
2,8												0,000		0,086		0,107		0,117		0,122		0,122		0,123		-			
2,9													0,060		0,091		0,105		0,112		0,112		0,115		-				
3,0													0,000		0,073		0,092		0,102		0,102		0,106		-				
3,1														0,051		0,079		0,091		0,091		0,098		-					
3,2														0,000		0,063		0,080		0,080		0,089		-					
3,3															0,041		0,069		0,080		0,080		0,080		-				
3,4															0,000		0,055		0,071		0,071		0,071		-				
3,5																0,038		0,060		0,049		0,049		0,049		-			
3,6																0,000		0,049		0,034		0,034		0,034		-			
3,7																	0,000		0,034		0,034		0,034		0,034		-		
3,8																		0,000		0,034		0,034		0,034		0,034		-	

TABELA Nº 5       $q_0 = 2,0$ 

continuação

$\eta$	Valores de $f(z, \eta)$ para os seguintes valores de ( $z$ )														
	6,0	6,014	6,158	6,300	6,433	6,5	6,573	6,723	6,863	7,000	7,5	8,0	8,5	9,0	10,0
0,4	0,339					0,308				0,282	0,260	0,241	0,224	0,210	0,186
1,0	0,203					0,185				0,170	0,157	0,146	0,136	0,128	0,114
1,5	0,157					0,144				0,133	0,123	0,115	0,108	0,101	0,090
2,0	0,128					0,118				0,110	0,102	0,096	0,090	0,085	0,076
2,5	0,107					0,100				0,093	0,087	0,082	0,077	0,073	0,066
3,0	0,091					0,085				0,080	0,075	0,071	0,067	0,064	0,058
3,5	0,077					0,073				0,069	0,066	0,063	0,059	0,057	0,052
4,0	0,064					0,062				0,060	0,058	0,055	0,053	0,051	0,046
4,3	0,057	0,057				0,056				0,055	-	-	-	-	-
4,4	0,055		0,055			0,054				0,053	-	-	-	-	-
4,5	0,052			0,053		0,053				0,052	0,050	0,049	0,047	0,045	0,042
4,6	0,050				0,051	0,051				0,050	-	-	-	-	-
4,7	0,048					0,049	0,049			0,049	-	-	-	-	-
4,8	0,045					0,047		0,047		0,047	-	-	-	-	-
4,9	0,043					0,045			0,045	0,045	-	-	-	-	-
5,0	0,040					0,043				0,044	0,044	0,043	0,042	0,040	0,038

